

**OFFICE DE LA RECHERCHE
SCIENTIFIQUE ET TECHNIQUE
OUTRE-MER**

CENTRE DE POINTE-NOIRE

OCEANOGRAPHIE

**RAPPORT DE MER
de la
CAMPAIGNE NIZ 08-74**

/{ A P P O R T D E /)/ E R
DE LA CAMPAGNE NIZ 08-74 SORTIE CROISSANCE-CREVETTES
DU 1er AVRIL 1974

par

P. CAYRÉ¹

RAPPORT DE MER

B u t (Rappel de la note préparatoire n° 427).
- Etude de la croissance de Parapenaeus longirostris.

Equipe scientifique

P. CAYRE, Biologiste, Chef de Mission
A. FONTANA, Biologiste
P. M'FINA, Technicien.

Déroulement de la campagne

Date	Heure TU+1	
01-04-74	09h00	Départ de Pointe-Noire.
	11h20	Par 04°55'S, <u>chalutage n° 1</u> Z = 90 m, filé 300 m cc 140.
	12h20	Viré 1 bac (50 kg), 600 g crevettes.
	12h40	Station n° 1 (T° et S‰, surface + fond, BT), T° 29°0.
	12h55	<u>Chalutage n° 2</u> Z = 90 m, filé 300 m cc 330.
	13h55	Viré : 325 kg (6 1/2 bacs) Crevettes 5,3 kg Dentex 40 " Soles 25 "
		Route cc 215.
	15h40	05°00'S. <u>Ch. n° 3</u> Z = 150 m trait oblique → 300 m.
	15h40	Viré Z = 300 m. 10 1/2 bacs.
	17h40	Station n° 2.
	18h30	En pêche, <u>Ch. n° 4</u> Z = 500 m, filé 1400 m cc 350.
	20h00	Viré : 5 bacs.
	21h00	Route Pointe-Noire. cc : 85.
02-04-74	01h00	A quai Pointe-Noire.

Conclusions

Afin de retenir les crevettes de petite taille nous avons doublé le cul du chalut Ayello avec une poche à mailles de 10 mm de côté.

Deux traits de chalut ont été effectués sur les 90 mètres, nous avons additionné les distributions de fréquence ainsi obtenues. Les résultats bruts figurent sur la figure 1 et dans le tableau 1. Les courbes ont ensuite été lissées par une moyenne mobile portant sur 3 valeurs (fig. 2).

Pour les mâles, il n'y a qu'un mode bien net centré sur 18 mm. Pour les femelles il s'agit soit d'un mode très étalé centré sur 21 mm, soit de plusieurs modes très rapprochés. Les sorties ultérieures permettront de préciser ce point.

Le trait oblique entre 150 et 300 mètres a permis de mettre en évidence (fig. 3 et 4, tableau 2) : pour les mâles trois modes centrés sur 18,5-24 et 30 mm.

Pour les femelles deux modes bien nets à 19 et 28 mm avec sans doute un dernier mode centré sur 33 mm mais là encore les sorties ultérieures permettront de préciser ces distributions.

POINTE-NOIRE, le 23 Avril 1974.

Distribution des longueurs thoraciques de
Parapenaeus longirostris

LC en mm	Ch. 1		Ch. 2		Ch. 3	
	♂	♀	♂	♀	♂	♀
10				2		
11						2
12			4	1	1	1
13			7	4	6	4
14	1		3	4	4	6
15	1	1	10	7	9	7
16	4	1	33	10	15	5
17	16	3	83	5	22	14
18	26	5	122	8	18	19
19	18	4	83	9	20	15
20	9	6	27	11	21	16
21	4	5	16	6	10	6
22	6	5	6	8	8	8
23		4	4	15	10	8
24			2	8	13	7
25		2		12	12	8
26				5	5	16
27		4		2	3	13
28		1		10	2	23
29		1		1	4	13
30		2		2		16
31					2	7
32				2	1	9
33						9
34						3
35						2
36						2
37						
38						
39						
40						
Poids de l'échantillon (kg)	0,600		2,200		4,000	
Poids total pêché (kg)	0,600		5,300		9,700	

Tableau récapitulatif des stations

Campagne	Date 1974	n° de chalutage	Profondeur du trait	Position	Heure TU+1	Observations de surface		Observations de fond			BT n°
						T°C	S‰	Z (m)	T°C	S‰	
NIZ 08-74	01-04	1	90 m	4°55'S	11h20	29°0'	33,91	89	17°40'	35,75	119
	"	3	300 m	5°00'S	17h40	29°0'	33,74	172	11°07'	35,07	120

90 mètres

LC(n)	♂	%	$\bar{L}(3)$	%	♀	%	$\bar{L}(3)$	%
10					2	1,1		
11							1	0,6
12	4	0,8			1	0,1	2	1,2
13	7	1,4	5	1,0	4	2,3	3	1,7
14	4	0,8	10	2,1	4	2,3	5	2,9
15	19	3,9	20	4,1	8	4,6	8	4,6
16	37	7,5	52	10,7	11	6,3	9	5,2
17	99	20,1	95	19,6	8	4,6	11	6,4
18	248	30,0	116	23,9	13	7,4	11	6,4
19	101	20,5	95	19,6	13	7,4	14	8,1
20	36	7,3	52	10,7	17	9,7	14	8,1
21	20	4,1	23	4,7	11	6,3	14	8,1
22	12	2,4	12	2,5	13	7,4	14	8,1
23	4	0,8	6	1,2	19	10,8	13	7,5
24	2	0,4			8	4,6	14	8,1
25					14	8,0	9	5,2
26					5	2,8	8	4,6
27					6	3,4	7	4,0
28					11	6,3	6	3,5
29					2	1,1	6	3,5
30					4	2,3	2	1,2
31							2	1,2
32					2	1,1		
Total	493	100,0	486	100,1	176	99,9	173	100,2

Tableau I

Distribution de fréquence des longueurs cephalothoraciques de P. longirostris

90 → 300 mètres

LC (n)	♂	%	$\bar{L}(3)$	%	♀	%	$\bar{L}(3)$	%
11					2	0,8		
12	1	0,5			1	0,4	2	0,9
13	6	3,2	4	2,2	4	1,7	4	1,7
14	4	2,2	6	3,3	6	2,5	6	2,6
15	9	4,8	9	5,0	7	2,9	6	2,6
16	15	8,1	15	8,3	5	2,1	9	3,8
17	22	11,8	18	9,9	14	5,9	13	5,5
18	18	9,7	20	11,0	19	7,9	16	6,8
19	20	10,8	20	11,0	15	6,3	17	7,2
20	21	11,3	17	9,4	16	6,7	12	5,1
21	10	5,4	13	7,2	6	2,5	10	4,3
22	8	4,3	9	5,0	8	3,4	7	3,0
23	10	5,4	10	5,5	8	3,4	8	3,4
24	13	7,0	12	6,6	7	2,9	8	3,4
25	12	6,5	10	5,5	8	3,4	10	4,3
26	5	2,7	7	3,9	16	6,7	12	5,1
27	3	1,6	3	1,7	13	5,4	17	7,2
28	2	1,0	3	1,7	23	9,6	16	6,8
29	4	2,2	2	1,1	13	5,4	17	7,2
30			2	1,1	16	6,7	12	5,1
31	2	1,0	1	0,6	7	2,9	11	4,7
32	1	0,5			9	3,8	6	3,4
33					9	3,8	7	3,0
34					3	1,3	5	2,1
35					2	0,8	2	0,9
36					2	0,8		
Total	186	100,0	181	100,0	239	100,0	235	100,1

Tableau II

Distribution de fréquences des longueurs cephalothoraciques de P. longirostris

N.B. $\bar{L}(3)$ = moyenne mobile sur 3 valeurs.

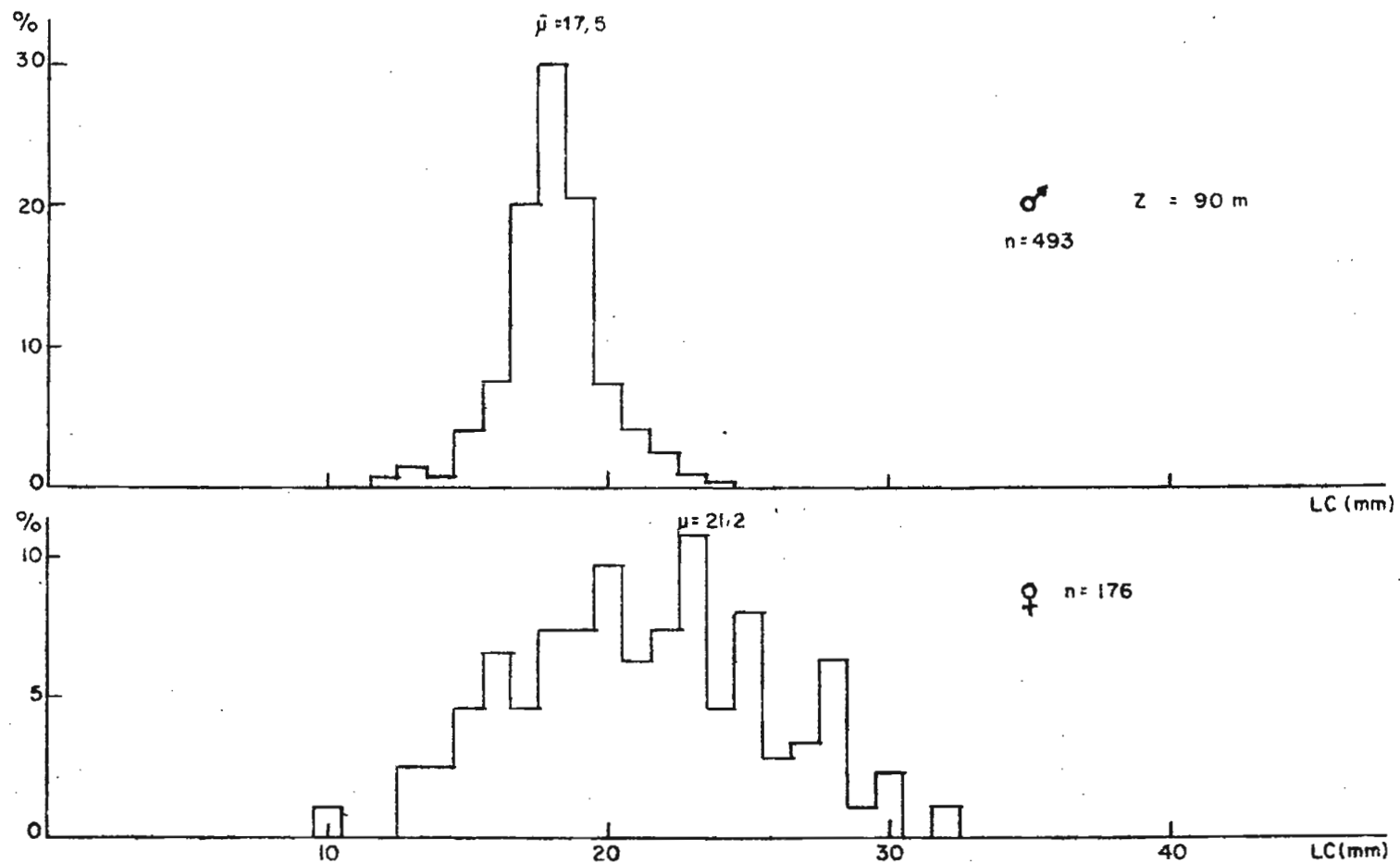


Fig. 1 - NIZ 08-74 - Distributions de fréquence des longueurs céphalothoraciques de P. longirostris

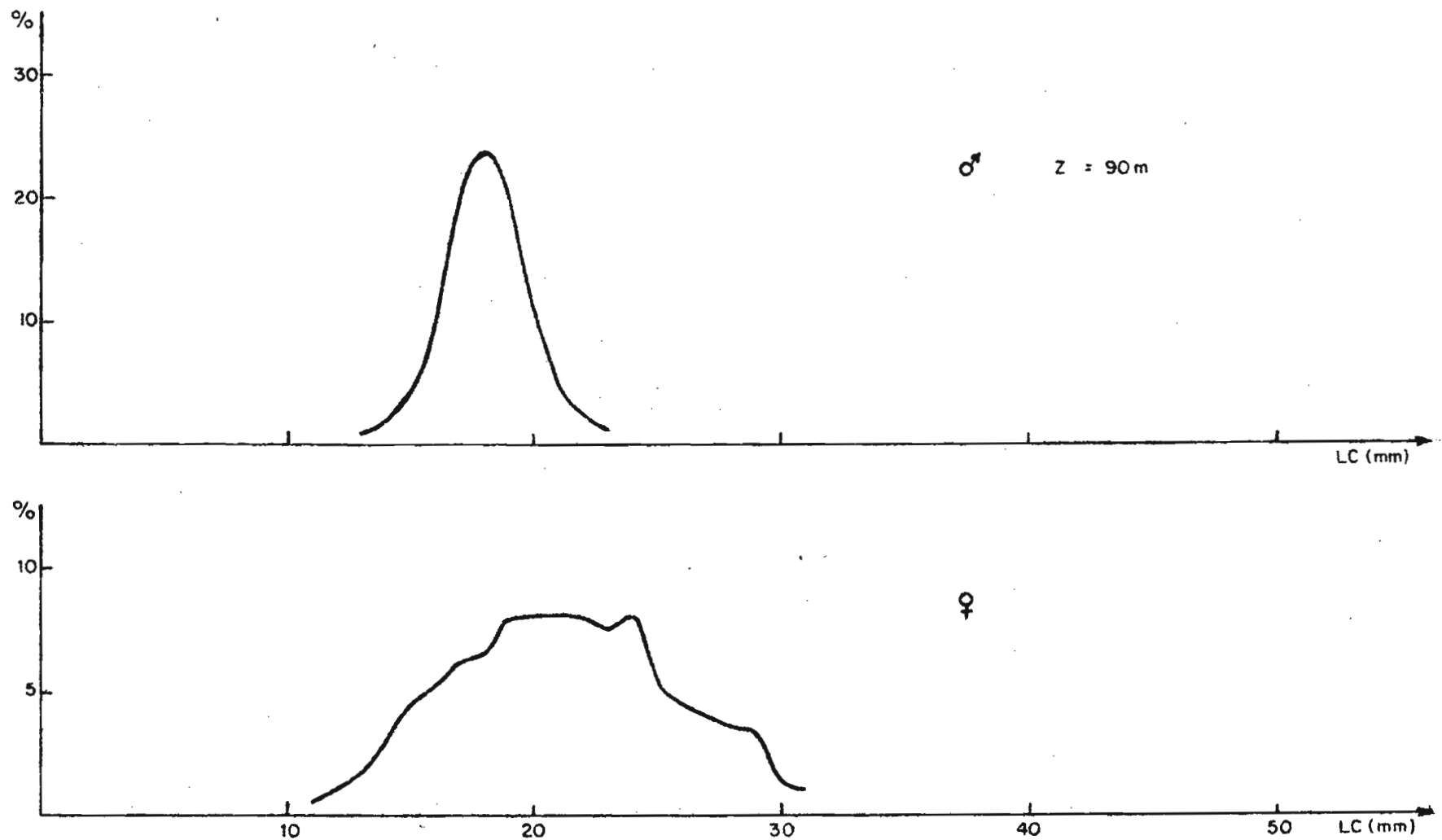


Fig. 2- NIZ 08-74- Distributions de fréquence des longueurs céphalothoraciques de P. longirostris après lissage

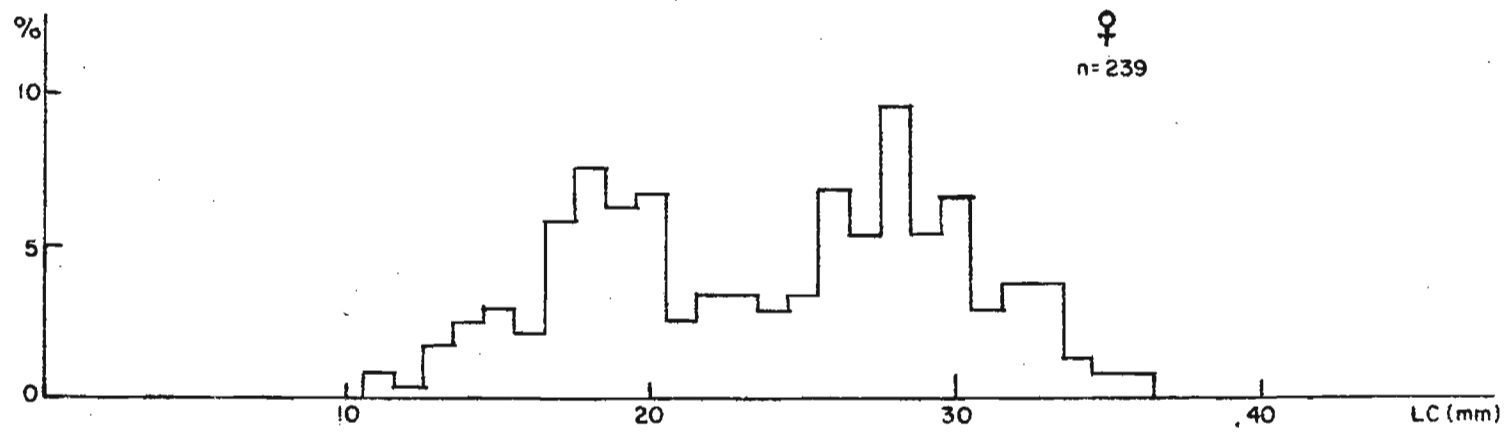


Fig.3 - NIZ 08-74- Distributions de fréquence des longueurs céphalothoraciques de P. longirostris

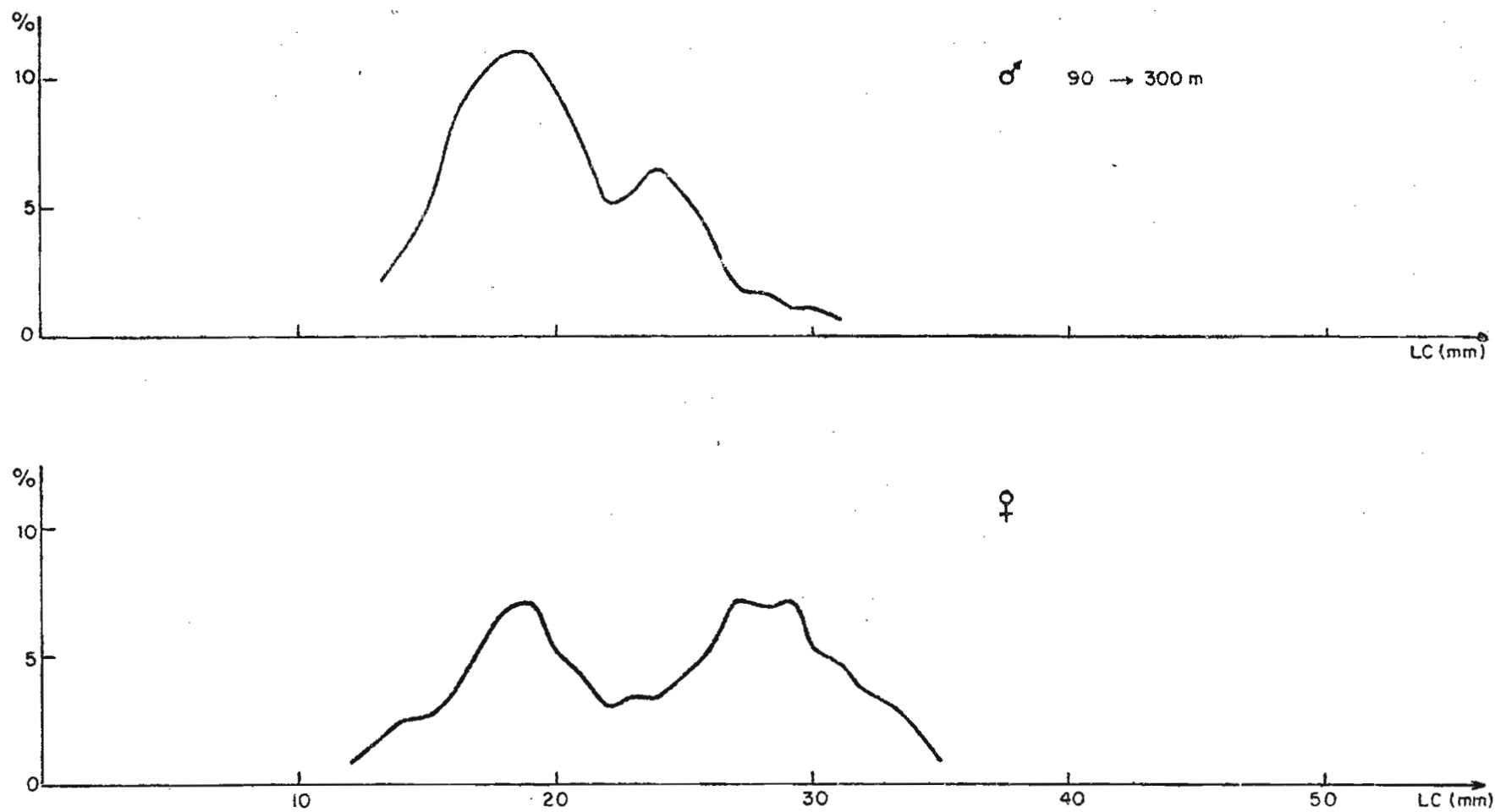


Fig. 4 - NIZ 08-74- Distributions de fréquence des longueurs céphalothoraciques de P. longirostris après lissage